

Rapport technique canadien des sciences halieutiques et aquatiques

#3658 – Figure 26

Conditions d'utilisation

Par courtoisie envers la communauté scientifique, veuillez informer par courriel Dr. Catherine Johnson (Catherine.Johnson@dfo-mpo.gc.ca) concernant votre utilisation des données fournies afin d'éviter de reproduire des efforts de recherche déjà en cours. Vos commentaires et suggestions sont bienvenus.

Les données fournies ici peuvent être redistribuées et/ou modifiées selon les termes du Contrat de Licence du Gouvernement Ouvert - Canada tel que publié sur le site <http://ouvert.canada.ca/fr/licence-du-gouvernement-ouvert-canada> dans sa forme actuelle ou en version ultérieure.

Les données sont offertes sous licence "telle quelle". Pêches et Océans Canada ne fait aucune représentation et ne donne aucune garantie en ce qui concerne les données et décline expressément toute garantie implicite de qualité marchande ou d'adaptation à un usage particulier des données. Pêches et Océans Canada n'assume aucune obligation ou responsabilité concernant la mise à jour des données. Pour plus de détails, veuillez consulter le Contrat de Licence du Gouvernement Ouvert - Canada <http://ouvert.canada.ca/fr/licence-du-gouvernement-ouvert-canada>.

Citation

Toute utilisation des données devrait être accompagnée d'une référence au rapport technique canadien des sciences halieutiques et aquatiques tel que suit:

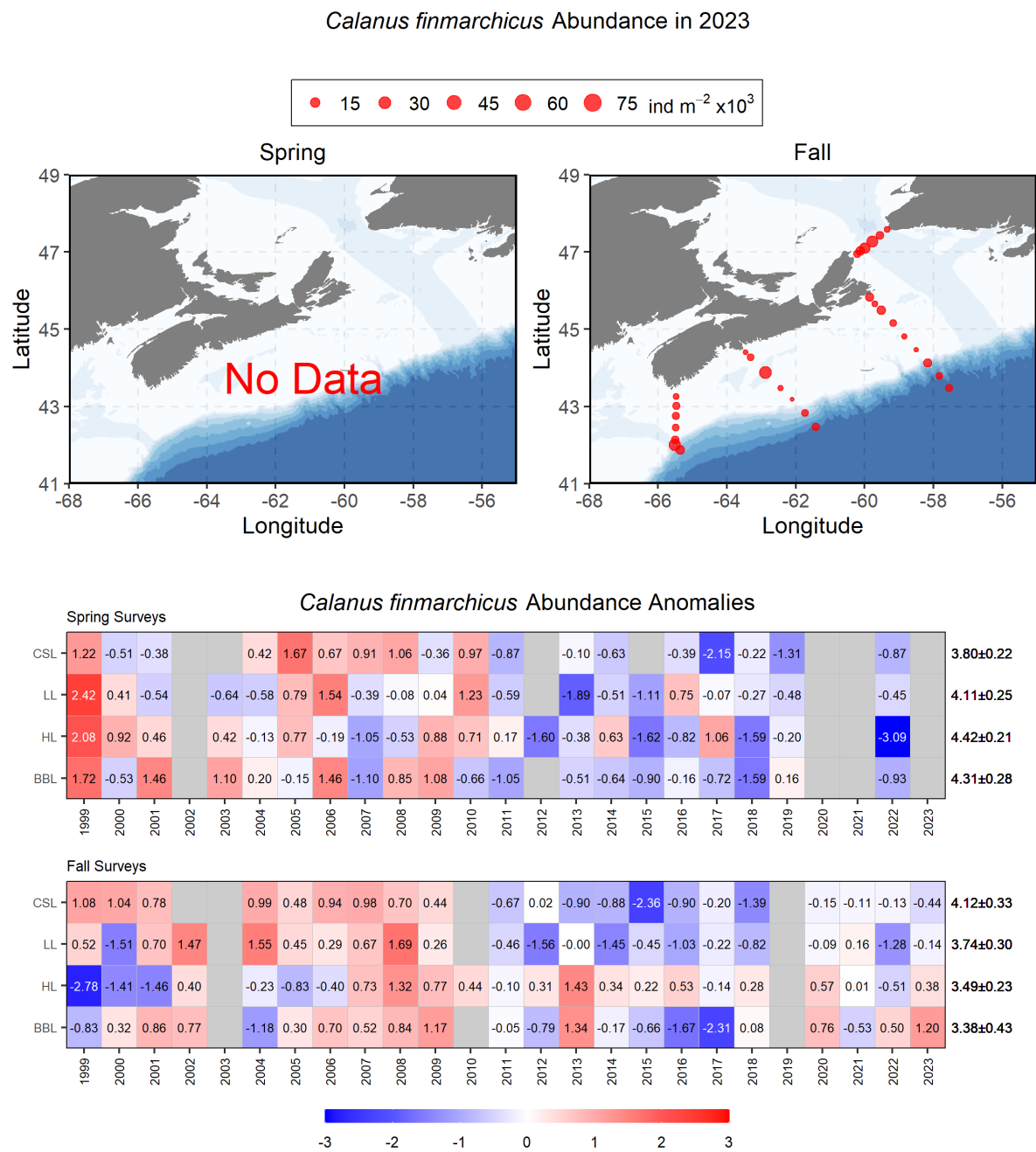
Casault, B., Johnson, C., Devred, E., and Beazley, L. 2025. Chemical and Biological Oceanographic Conditions on the Scotian Shelf and in the Eastern Gulf of Maine during 2023. Can. Tech. Rep. Fish. Aquat. Sci. 3658 : vi + 57 p.

Contact

Pour toutes questions concernant les données fournies, veuillez contacter:

Dr. Catherine Johnson
Pêches et Océans Canada
Institut Océanographique de Bedford
C.P.1006, 1 Montée Challenger
Dartmouth, N.-É., Canada B2Y 4A2
Tel: 902-426-0753
Courriel: Catherine.Johnson@dfo-mpo.gc.ca

Figure



Abondance du *Calanus finmarchicus* lors des relevés saisonniers sur les sections principales. Panneaux du haut: répartition spatiale de l'abondance du *C. finmarchicus* au printemps (à gauche) et à l'automne (à droite) 2023. Panneaux du milieu et du bas: Tableaux synoptiques des anomalies saisonnières de l'abondance de *C. finmarchicus* lors des relevés du printemps et de l'automne ; les valeurs dans chaque cellule sont les anomalies par rapport à la moyenne pour la période de référence 1999-2020, en unités d'écart-type (ét) (moyenne et ét indiqués à droite en unités de $\log_{10}(\text{individus} \cdot \text{m}^{-2} + 1)$). Les cellules rouges (bleues) indiquent des abondances supérieures (inférieures) à la normale. Les cellules grises indiquent des données manquantes. CSL: section du détroit de Cabot; LL: section de Louisbourg; HL: section d'Halifax; BBL: section du banc de Browns.

Données

Séries temporelles

Les données d'abondance du *Calanus finmarchicus* utilisées pour générer la Figure 26 sont disponibles dans le fichier *Cfin_Transects_Timeseries.csv*.

Séries temporelles des moyennes saisonnières

Les données des moyennes saisonnières de l'abondance du *Calanus finmarchicus* utilisées pour générer la Figure 26 sont disponibles dans le fichier *Cfin_Transects_Seasonal_Means.csv*.

Climatologie

Les données de la climatologie saisonnière de l'abondance du *Calanus finmarchicus* utilisées pour générer la Figure 26 sont disponibles dans le fichier *Cfin_Transects_Seasonal_Climatology.csv*.

Séries temporelles des anomalies saisonnières

Les données des anomalies saisonnières de l'abondance du *Calanus finmarchicus* utilisées pour générer la Figure 26 sont disponibles dans le fichier *Cfin_Transects_Seasonal_Anomalies.csv*.